

# Starkniederschlagshöhen und -spenden gemäß KOSTRA-DWD-2020

## Rasterfeld 138214

(Zeile 138, Spalte 214)

### Regenspende und Bemessungsniederschlagswerte in Abhängigkeit von Wiederkehrzeit T und Dauerstufe D

| Dauerstufe D |     | Wiederkehrzeit T |            |      |            |      |            |      |            |       |            |       |            |       |            |       |            |       |            |
|--------------|-----|------------------|------------|------|------------|------|------------|------|------------|-------|------------|-------|------------|-------|------------|-------|------------|-------|------------|
|              |     | 1 a              |            | 2 a  |            | 3 a  |            | 5 a  |            | 10 a  |            | 20 a  |            | 30 a  |            | 50 a  |            | 100 a |            |
| min          | Std | mm               | l / (s ha) | mm   | l / (s ha) | mm   | l / (s ha) | mm   | l / (s ha) | mm    | l / (s ha) | mm    | l / (s ha) | mm    | l / (s ha) | mm    | l / (s ha) | mm    | l / (s ha) |
| 5            |     | 6,3              | 210,0      | 8,0  | 266,7      | 9,1  | 303,3      | 10,5 | 350,0      | 12,5  | 416,7      | 14,6  | 486,7      | 16,0  | 533,3      | 17,8  | 593,3      | 20,3  | 676,7      |
| 10           |     | 8,6              | 143,3      | 10,9 | 181,7      | 12,4 | 206,7      | 14,3 | 238,3      | 17,0  | 283,3      | 19,9  | 331,7      | 21,7  | 361,7      | 24,1  | 401,7      | 27,6  | 460,0      |
| 15           |     | 10,0             | 111,1      | 12,7 | 141,1      | 14,4 | 160,0      | 16,6 | 184,4      | 19,8  | 220,0      | 23,1  | 256,7      | 25,3  | 281,1      | 28,1  | 312,2      | 32,2  | 357,8      |
| 20           |     | 11,1             | 92,5       | 14,1 | 117,5      | 15,9 | 132,5      | 18,4 | 153,3      | 21,9  | 182,5      | 25,5  | 212,5      | 27,9  | 232,5      | 31,0  | 258,3      | 35,5  | 295,8      |
| 30           |     | 12,6             | 70,0       | 16,0 | 88,9       | 18,1 | 100,6      | 20,9 | 116,1      | 24,9  | 138,3      | 29,1  | 161,7      | 31,8  | 176,7      | 35,3  | 196,1      | 40,4  | 224,4      |
| 45           |     | 14,2             | 52,6       | 18,1 | 67,0       | 20,5 | 75,9       | 23,6 | 87,4       | 28,2  | 104,4      | 32,8  | 121,5      | 35,9  | 133,0      | 39,9  | 147,8      | 45,7  | 169,3      |
| 60           | 1   | 15,4             | 42,8       | 19,6 | 54,4       | 22,2 | 61,7       | 25,7 | 71,4       | 30,6  | 85,0       | 35,7  | 99,2       | 39,0  | 108,3      | 43,3  | 120,3      | 49,6  | 137,8      |
| 90           | 1,5 | 17,3             | 32,0       | 22,0 | 40,7       | 24,9 | 46,1       | 28,7 | 53,1       | 34,2  | 63,3       | 39,9  | 73,9       | 43,6  | 80,7       | 48,5  | 89,8       | 55,5  | 102,8      |
| 120          | 2   | 18,7             | 26,0       | 23,8 | 33,1       | 26,9 | 37,4       | 31,1 | 43,2       | 37,0  | 51,4       | 43,1  | 59,9       | 47,2  | 65,6       | 52,4  | 72,8       | 60,0  | 83,3       |
| 180          | 3   | 20,8             | 19,3       | 26,5 | 24,5       | 30,0 | 27,8       | 34,6 | 32,0       | 41,2  | 38,1       | 48,1  | 44,5       | 52,5  | 48,6       | 58,4  | 54,1       | 66,8  | 61,9       |
| 240          | 4   | 22,5             | 15,6       | 28,6 | 19,9       | 32,3 | 22,4       | 37,3 | 25,9       | 44,5  | 30,9       | 51,8  | 36,0       | 56,7  | 39,4       | 63,0  | 43,8       | 72,1  | 50,1       |
| 360          | 6   | 25,0             | 11,6       | 31,7 | 14,7       | 35,9 | 16,6       | 41,5 | 19,2       | 49,4  | 22,9       | 57,6  | 26,7       | 63,0  | 29,2       | 70,0  | 32,4       | 80,1  | 37,1       |
| 540          | 9   | 27,7             | 8,5        | 35,2 | 10,9       | 39,9 | 12,3       | 46,0 | 14,2       | 54,9  | 16,9       | 64,0  | 19,8       | 69,9  | 21,6       | 77,7  | 24,0       | 88,9  | 27,4       |
| 720          | 12  | 29,8             | 6,9        | 37,9 | 8,8        | 43,0 | 10,0       | 49,6 | 11,5       | 59,1  | 13,7       | 68,9  | 15,9       | 75,3  | 17,4       | 83,7  | 19,4       | 95,8  | 22,2       |
| 1080         | 18  | 33,1             | 5,1        | 42,1 | 6,5        | 47,7 | 7,4        | 55,0 | 8,5        | 65,5  | 10,1       | 76,4  | 11,8       | 83,5  | 12,9       | 92,9  | 14,3       | 106,2 | 16,4       |
| 1440         | 24  | 35,6             | 4,1        | 45,3 | 5,2        | 51,3 | 5,9        | 59,2 | 6,9        | 70,5  | 8,2        | 82,2  | 9,5        | 89,9  | 10,4       | 100,0 | 11,6       | 114,3 | 13,2       |
| 2880         | 48  | 42,5             | 2,5        | 54,1 | 3,1        | 61,2 | 3,5        | 70,6 | 4,1        | 84,2  | 4,9        | 98,2  | 5,7        | 107,3 | 6,2        | 119,3 | 6,9        | 136,5 | 7,9        |
| 4320         | 72  | 47,1             | 1,8        | 60,0 | 2,3        | 67,9 | 2,6        | 78,3 | 3,0        | 93,3  | 3,6        | 108,8 | 4,2        | 119,0 | 4,6        | 132,3 | 5,1        | 151,3 | 5,8        |
| 5760         | 96  | 50,7             | 1,5        | 64,5 | 1,9        | 73,1 | 2,1        | 84,3 | 2,4        | 100,4 | 2,9        | 117,1 | 3,4        | 128,0 | 3,7        | 142,3 | 4,1        | 162,8 | 4,7        |
| 7200         | 120 | 53,7             | 1,2        | 68,3 | 1,6        | 77,3 | 1,8        | 89,2 | 2,1        | 106,3 | 2,5        | 124,0 | 2,9        | 135,5 | 3,1        | 150,6 | 3,5        | 172,3 | 4,0        |
| 8640         | 144 | 56,2             | 1,1        | 71,5 | 1,4        | 81,0 | 1,6        | 93,4 | 1,8        | 111,4 | 2,1        | 129,8 | 2,5        | 141,9 | 2,7        | 157,8 | 3,0        | 180,5 | 3,5        |
| 10080        | 168 | 58,5             | 1,0        | 74,4 | 1,2        | 84,2 | 1,4        | 97,2 | 1,6        | 115,8 | 1,9        | 135,0 | 2,2        | 147,6 | 2,4        | 164,1 | 2,7        | 187,7 | 3,1        |

# Starkniederschlagshöhen und -spenden gemäß KOSTRA-DWD-2020

## Rasterfeld 138214

(Zeile 138, Spalte 214)

### Örtliche Unsicherheiten in Abhängigkeit von Wiederkehrzeit T und Dauerstufe D

| Dauerstufe D |     | Wiederkehrzeit T |     |     |     |      |      |      |      |       |
|--------------|-----|------------------|-----|-----|-----|------|------|------|------|-------|
|              |     | 1 a              | 2 a | 3 a | 5 a | 10 a | 20 a | 30 a | 50 a | 100 a |
| min          | Std | ± %              | ± % | ± % | ± % | ± %  | ± %  | ± %  | ± %  | ± %   |
| 5            |     | 14               | 13  | 14  | 14  | 15   | 15   | 15   | 16   | 16    |
| 10           |     | 14               | 16  | 17  | 18  | 18   | 19   | 20   | 20   | 21    |
| 15           |     | 16               | 18  | 19  | 20  | 21   | 22   | 22   | 23   | 23    |
| 20           |     | 17               | 19  | 20  | 21  | 22   | 23   | 23   | 24   | 24    |
| 30           |     | 18               | 20  | 21  | 22  | 23   | 24   | 24   | 25   | 26    |
| 45           |     | 18               | 20  | 21  | 22  | 24   | 24   | 25   | 25   | 26    |
| 60           | 1   | 18               | 20  | 21  | 22  | 23   | 24   | 25   | 25   | 26    |
| 90           | 1,5 | 17               | 20  | 21  | 22  | 23   | 24   | 24   | 25   | 26    |
| 120          | 2   | 17               | 19  | 20  | 21  | 22   | 23   | 24   | 24   | 25    |
| 180          | 3   | 16               | 18  | 19  | 20  | 22   | 22   | 23   | 23   | 24    |
| 240          | 4   | 15               | 17  | 18  | 20  | 21   | 22   | 22   | 23   | 23    |
| 360          | 6   | 15               | 17  | 18  | 19  | 20   | 21   | 21   | 22   | 22    |
| 540          | 9   | 14               | 16  | 17  | 18  | 19   | 20   | 20   | 21   | 21    |
| 720          | 12  | 14               | 16  | 16  | 17  | 18   | 19   | 20   | 20   | 21    |
| 1080         | 18  | 14               | 15  | 16  | 17  | 18   | 19   | 19   | 19   | 20    |
| 1440         | 24  | 14               | 15  | 16  | 17  | 17   | 18   | 19   | 19   | 19    |
| 2880         | 48  | 16               | 16  | 16  | 17  | 17   | 18   | 18   | 19   | 19    |
| 4320         | 72  | 17               | 17  | 17  | 17  | 18   | 18   | 19   | 19   | 19    |
| 5760         | 96  | 18               | 18  | 18  | 18  | 18   | 19   | 19   | 19   | 19    |
| 7200         | 120 | 19               | 19  | 19  | 19  | 19   | 19   | 19   | 19   | 20    |
| 8640         | 144 | 20               | 19  | 19  | 19  | 19   | 20   | 20   | 20   | 20    |
| 10080        | 168 | 20               | 20  | 20  | 20  | 20   | 20   | 20   | 20   | 20    |

### Parameter für abweichende T und D

#### Lokationsparameter $\xi$ (Xi)

15,91159805

#### Skalenparameter $\alpha$ (Alpha)

6,01292732

#### Formparameter $\kappa$ (Kappa)

-0,1

#### 1. Koutsoyiannis-Parameter $\theta$ (Theta)

0,03955008

#### 2. Koutsoyiannis-Parameter $\eta$ (Eta)

0,74575013

Parameter für dauerstufenübergreifende Extremwertschätzung nach KOUTSOYIANNIS et al. 1998.

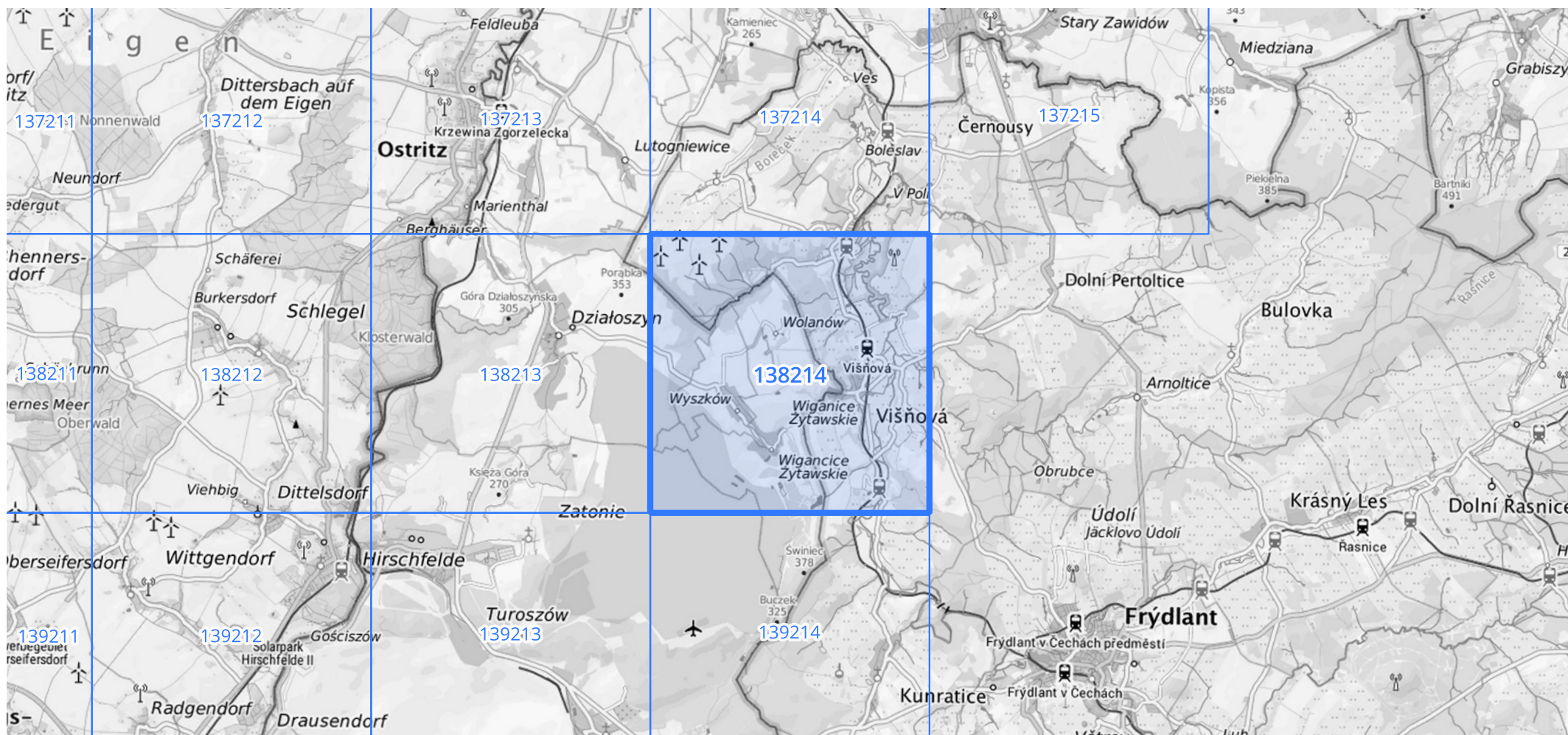
Siehe auch Anwendungshilfe zu KOSTRA-DWD-2020 des Deutschen Wetterdienstes.

## Starkniederschlagshöhen und -spenden gemäß KOSTRA-DWD-2020

## Rasterfeld 138214

(Zeile 138, Spalte 214)

## Übersichtskarte des Rasterfeldes 138214, M 1 : 100 000



Quelle Rasterdaten: KOSTRA-DWD-2020 des Deutschen Wetterdienstes, Stand 12/2022.

Seite 3 von 3

Kartendarstellung: © Bundesamt für Kartographie und Geodäsie (2023), Datenquellen: [https://sgx.geodatenzentrum.de/web\\_public/gdz/datenquellen/Datenquellen\\_TopPlusOpen.html](https://sgx.geodatenzentrum.de/web_public/gdz/datenquellen/Datenquellen_TopPlusOpen.html)

Für die Richtigkeit und Aktualität der Angaben wird keine Gewähr übernommen. Erstellt 01/2023.